

analisec digital

Julio 2023

CÁMARA DE DIPUTADOS

ENTRADA DE VISITANTES



Panorama

Mejora la construcción en Aguascalientes

Diálogo

Analisec acude a la Cámara de Diputados



MESA DIRECTIVA ANALISEC

PRESIDENTE

FRANCISCO JAVIER PÉREZ VIDAL
presidencia@analisec.com.mx

VICEPRESIDENTE

RICARDO ALBERTO OLEA AYALA
vicepresidencia@analisec.com.mx

TESORERO

ANTONIO BLAS AGUILAR
tesoreria@analisec.com.mx

SECRETARIO ADMINISTRATIVO

JOSÉ LUIS RESÉNDIZ MERLOS
sadministrativo@analisec.com.mx

SECRETARIO TÉCNICO

IVAN MLADOSICH ESTRADA
stecnico@analisec.com.mx

DIRECTOR DE EVALUACIÓN

JUAN CARLOS SUASTE TELLO

DIRECTOR DE CAPACITACIÓN

ESTEBAN FINO VELASCO

DIRECTOR DE SERVICIOS TÉCNICOS

VÍCTOR ANTONIO HERRERA

DIRECTOR DE ORDENAMIENTO

LEGAL

JOSÉ LUIS AYALA RAMÍREZ

DIRECTOR DE DIFUSIÓN

Y COMUNICACIÓN

PABLO JESÚS MENDIZABAL MALDONADO

DIRECTOR DE PRECIOS UNITARIOS

HORACIO GONZÁLEZ GUTIÉRREZ

DIRECTOR DE NORMALIZACIÓN

REYNALDA SANDOVAL TORRES

DIRECTOR DE AFILIACIÓN

FRANCISCO JOSÉ RUZ GAMBOA

DIRECTOR DE COMPETENCIAS

FERNANDO RAFAEL FUENTES RODRÍGUEZ



REVISTA ANALISEC DIGITAL

DIRECTOR EDITORIAL

FRANCISCO JAVIER PÉREZ VIDAL
presidencia@analisec.com.mx

DISEÑO Y REDACCIÓN

El Globo Morado

CONTACTO

boletin@analisec.com.mx

SUMARIO

PANORAMA EN AGUASCALIENTES

6



DIÁLOGO

Firman convenio

9



Fuente: Analisec

¿Qué pasó en el mundo?

Se pierde TITÁN

29



29



INCATSGC

Facilitamos los procesos, minimizamos costos y tiempos así como optimizamos tus recursos para tus procesos internos y los trámites ante ema o MAAC



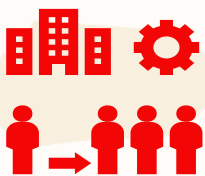
**Acreditación
inicial**



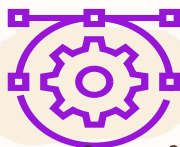
Vigilancia



Reevaluación



**Ampliaciones
de alcance**



**capacitación
tecnic y
administrativa**



Monitoreo



**Auditorias
y mediciones
estrategicas**



477 2749919

Asesoría, consultoría y capacitación

www.incatsgc.com





El pasado 15 de julio el futbolista argentino Lionel Messi fue presentado con su nuevo club, el Inter de Miami, propiedad del también exfutbolista, el británico David Beckham, y la familia Mas Canosa.

Fuente: Medios

Panorama de la Construcción en Aguascalientes



Aguascalientes, conocido por su crecimiento económico y desarrollo industrial, ha experimentado un notable avance en el sector de la construcción durante el último semestre. Este artículo analizará los principales aspectos que han impulsado esta actividad en la región, desde los proyectos de infraestructura hasta el desarrollo residencial y comercial.

Además, se destacarán los desafíos y oportunidades que se presentan en este sector en constante evolución.

Impulso de la inversión en infraestructura:

Durante el último semestre, Aguascalientes ha sido testigo de una importante inversión en infraestructura pública y privada. El gobierno local ha llevado a cabo proyectos de mejora de carreteras, ampliación de redes de transporte y modernización de sistemas de agua y saneamiento. Estas iniciativas han generado un aumento significativo en la demanda de servicios de construcción y han proporcionado oportunidades de empleo en el sector.

Desarrollo residencial y comercial:

El crecimiento poblacional y económico de Aguascalientes ha impulsado la construc-

ción de viviendas y espacios comerciales. Durante el último semestre, se han desarrollado numerosos proyectos residenciales y comerciales en distintas zonas de la ciudad.

La construcción de nue-





vos fraccionamientos, centros comerciales y complejos de oficinas ha sido una constante, lo que ha contribuido al dinamismo del sector y a la generación de empleo en la industria de la construcción.

Incorporación de tecnología y prácticas sustentables:

En línea con las tendencias globales, la construcción en Aguascalientes ha experimentado un incremento en la adopción de tecnologías y prácticas sustentables. La implementación de sistemas de eficiencia energética, el uso de materiales ecológicos y la incorporación de diseños bioclimáticos son algunas de las medidas que se están adoptando en los nuevos proyectos de construcción.

Estas prácticas no solo benefician al medio ambiente, sino que también permiten la reducción de costos operativos a largo plazo.

Desafíos y oportunidades:

Aunque la construcción

en Aguascalientes ha experimentado un crecimiento notable, también enfrenta desafíos importantes.

La escasez de mano de obra calificada, los incrementos en los precios de los materiales de construcción y la necesidad de mejorar la eficiencia en los procesos constructivos son algunos de los obstáculos a superar.

Sin embargo, estos desafíos también representan oportunidades para la capacitación y formación de trabajadores locales, así como para la implementación de nuevas tecnologías y métodos de construcción más eficientes.

Conclusión:

Durante el último semestre, la construcción en Aguascalientes ha experimentado un impulso significativo, impulsado por la inversión en infraestructura, el desarrollo residencial y comercial, así como la adopción de tecnología y prácticas sustentables. Aunque existen desafíos en el camino, estos también brin-

dan oportunidades para mejorar y fortalecer el sector. La construcción en Aguascalientes se perfila como un motor

importante para el crecimiento económico y el desarrollo sostenible de la región en el futuro.



Revisan cuestionarios para capacitar a los asociados

Durante este bimestre se llevaron a cabo 3 reuniones de trabajo vía Zoom, gracias a esto se terminó con la revisión de los cuestionarios de evaluación del área de geotecnia, mampostería y acero de refuerzo.

El grupo de trabajo invi-

ta a todas las delegaciones a sumarse a este trabajo en beneficio de todos los asociados para seguir progresando, y continuar con la elaboración y revisión de las evaluaciones en el área de agregados pétreos para mezclas asfálticas.



XXXIX
REUNION
NACIONAL
ANALISEC 2023



**“CONTROL DE CALIDAD Y EL DERECHO
A LA SEGURIDAD EN LA INFRAESTRUCTURA
Y LA EDIFICACIÓN”**

5-6 OCTUBRE 2023

Auditorio Jorge Ibargüengoitia
División de Ciencias Sociales UG
Forum Cultural Guanajuato
León, Guanajuato

INVERSIÓN

Asociados \$5,000
No Asociados \$6,960

INFORMES

55 56 11 86 63 // 7578
800 7192756

contacto@analisec.com.mx

Dialogan en la Cámara de Diputados

El pasado bimestre, miembros de la mesa directiva de Analisec, entre ellos el presidente de la Asociación, el Ing. Francisco Javier Pérez Vidal, acudieron a la Cámara de Diputados para dialogar sobre la inicia-

tiva para mejorar la calidad de la infraestructura en las futuras obras del país.

Dicho diálogo estuvo acompañado por los presidentes de otras asociaciones de ingenieros que también respaldan la propuesta de Analisec.



Reinauguran las oficinas centrales

El pasado bimestre se reinaugaron las oficinas centrales de Analisec ubicadas en Holbein No. 217, en la colonia Noche Buena, en Ciudad de México. Al evento acudieron asociados de la delegación Centro, miembros de la Mesa Directiva Nacional e invitados.

Entre los invitados estuvieron el Ing. Marco Antonio Méndez Cuevas, presidente de la Unión Mexicana de Asociaciones de Ingenieros y el Ing. Manuel Alejandro Rodríguez, presidente de la Asociación Mexicana de Ingeniería Económica y de Costos.

Las oficinas fueron remodeladas para mejorar la distribución de espacios y para contar con las áreas necesarias para llevar a cabo las certificaciones

de competencias laborales, capacitación y coordinación de ensayos de aptitud.



INVERSIÓN

ASOCIADOS

Conferencias \$ 5,000 NETOS
Acompañante \$ 2,500 NETOS

NO ASOCIADOS

Conferencias \$ 7,000 +IVA
Acompañante \$ 3,500 +IVA

ESTUDIANTES

Taller y Conferencias \$ 1,000
Taller \$ 500



HOTEL

HILTON GARDEN INN
Blvd. Adolfo López Ma
San Isidro, CP 37530
León, Gto.
Tel. 477 711 7106

TARIFAS (CON DESAY
HABITACIÓN SENCILL
HABITACIÓN DOBLE

CONTACTO

MA. GUADALUPE MEN
TEL. 477 267 43 06
CEL. 477 867 51 24
CODIGO ASÍ

INFORMES & RESE

55 56 11 86 63 // 7578
800 7192756
contacto@analisec.com

XXXIX REUNION NACIONAL ANALISEC 2023 LEÓN GUANAJUATO



02
ACEROS



01
CONCRETO
HIDRÁULICO

03
TERRACERIAS



LEÓN
teos, Jerez 2126

UNO E IMPUESTOS)
A \$ 1,320.00
\$ 1,488.00

DOZA

RVACIONES

m.mx

**“CONTROL DE CALIDAD Y EL DERECHO
A LA SEGURIDAD EN LA INFRAESTRUCTURA
Y LA EDIFICACIÓN”**

4 - 7 OCTUBRE 2023

Auditorio Jorge Ibargüengoitia
División de Ciencias Sociales UG
Forum Cultural Guanajuato
León, Guanajuato

JORNADA TÉCNICA

MIÉR
04

- 8:00 Registro Jornada Técnica
- 9:00 TALLER 01
10:30 "Aportes del IMT a la infraestructura del transporte"
Dr. Natalia Pérez García
- 10:30 TALLER 02
12:00 "Estabilidad de Taludes"
M.I. Gerardo Alonso Romero
DESCO Laboratorio
- 12:00 TALLER 03
13:30 "Determinación de resistencia del concreto hco. a la compresión simple con especímenes prismáticos"
Ing. Alexander Ramos Concretos ABCD
- 13:30 TALLER 04
15:00 "Inteligencia Artificial en la Ingeniería Civil"
Ing. Carlos Ali Rodríguez O.

REUNIÓN NACIONAL

JUE
05

- 8:00 REGISTRO
- 9:00 INAUGURACIÓN
- 9:45 CORTE DE LISTÓN & RECORRIDO POR LA EXPO
10:15 Cuarteto de cuerdas Universidad de Guanajuato "Chelos y Violines"
- 10:35 COFFEE BREAK
- 11:00 CONFERENCIA MAGISTRAL
11:45 "Iniciativa de modificación a la LOPSRM"
Dip. Fed. Paulo Gonzalo Martínez López
- 12:00 CONFERENCIA 2
12:45 "Infraestructura y logística para el nearshoring"
Lic. Héctor R. López Santillana"
Dir. Gral. de Gto. Puerto Interior
- 12:45 FOTO GRUPAL
- 13:15 CONFERENCIA 3
14:00 "La importancia del control de calidad de materiales en la construcciones de estructuras"
Dr. Luis A. Patrón
- 14:00 COMIDA
- 15:30 CONFERENCIA 4
16:15 "Implicaciones de una mala regularidad superficial en pavimentos"
M.I. Alfonso Pérez "IMT"
- 16:15 PRESENTACIÓN DE PRODUCTO
- 16:45 CONFERENCIA 5
18:00 "Experiencias a partir de la conformación de base de datos post-sismo"
Dr. Hugo Oswaldo Ferrer Toledo
- 18:00 COCKTEL DE BIENVENIDA
21:00 "Salón El Quijote" del salón de eventos "La Quinta Maravilla"



XXXIX REUNION NACIONAL ANALISEC 2023



VIE
06

- 9:00
9:45
- CONFERENCIA 6**
"Régimen simplificado de confianza para personas morales y físicas para el 2023"
M. David Contreras Salinas
- 10:00
- PRESENTACIÓN DE PRODUCTO**
- 10:30
11:15
- CONFERENCIA 7**
"Reseña del M.I. Eulalio Juárez Badillo"
M.I. Agustín Deméneghi Colina
Universidad Nacional Autónoma de México
- 11:15
12:00
- CONFERENCIA 8**
"Las auditorias en la verificación de calidad de la obra publica" ASEG"
Ing. José Omar Soto
Ing. Alfredo Hernández Téllez
- 12:00
- COFFEE BREAK**
- 12:15
13:00
- CONFERENCIA 9**
"Reparto de Utilidades" "Reforma a Vacaciones" "Reforma de jornada laboral"
Lic. Ernesto Segovia Castellot
- 13:00
14:00
- CONFERENCIA 10**
"Nuevos retos de la Ingeniería Civil y su compromiso con la seguridad en la Infraestructura del País"
Ing. Óscar Coello
Ex-presidente de FEMCIC
- 14:00
- PRESENTACIÓN DE PRODUCTO**
- 14:30
- COMIDA**
- 16:00
- RECORRIDO POR MUSEO**
- 17:00
20:00
- ASAMBLEA ORDINARIA**
"Salón El Quijote" del salón de eventos "La Quinta Maravilla"
- 21:00
24:00
- CENA DE GALA**

SAB
07

- 10:00
- Salida a Guanajuato capital.**
- 11:00
- Recorrido Turístico a la ciudad de Guanajuato, Gto.**
- 14:30
- Comida en Guanajuato, Gto.**
- 15:30
18:00
- Continua recorrido en la ciudad de Guanajuato, Gto.**
- 18:00
19:00
- Traslado a Hotel**



APLICACIÓN Y ANÁLISIS DE LA ECUACIÓN DE EMPUJE DE TIERRAS (PÉREZ GONZALO) CONSIDERANDO EFECTO SÍSMICO EN UNA HOJA DE CALCULO EXCEL

Rommel. J. Miranda Cuesta. Académico de Geotecnia, Facultad de Ingeniería, UNACH, Socio 306 Del. Analisec Chiapas

Gonzalo Pérez Gómez. Coautor, estudiante Tesista

RESUMEN. En Empuje de tierras lo importante es determinar presiones que la tierra ejerce sobre elementos de retención encargados de soportarla, tomando en cuenta las fuerzas que puedan actuar sobre el mismo, desde sismos hasta el agua. En Ingeniería se usan elementos de retención para empuje de tierras y se presentan métodos para cálculo del empuje de tierras y se realizaban de manera empírica (experiencia), sin tomar en cuenta que para cada obra se presentan diferentes condiciones de trabajo, razón por la cual se presenta propuesta razonable considerando las fuerzas que intervienen con la presión de tierras, a partir del análisis y programación en hoja de cálculo Excel para dicha ecuación (Pérez Gonzalo), La acción propuesta abarca todos los efectos que la estructura pudiera sufrir en cualquier instante. Su comprobación con teorías de Rankine, Coulomb y Mononobe – Okabe, resultó que corrobora el resultado.

PALABRAS CLAVES; Análisis, Empuje, Retención, Fuerzas, Cuña deslizante

ABSTRACT. The important thing is earth pressure is determine pressures that the earth exerts on retention elements in charge of supporting it, taking into account the forces that may act on it, from earthquakes to due to water. In engineering, retention elements are used for earth pressure and methods are presented for calculating the earth pressure and they were carried out empirically (experience), without taking into account that for each work different working conditions are presented, which is why a reasonable proposal is presented considering the forces that intervene with the earth pressure, from an analysis and programming in excel spreadsheet for said equation, the proposed action covers in all the effects that the structure could suffer at any moment. Its verification with theories of Rankine, Coulomb and Mononobe- Okabe turned out to which corroborates the result.

KEYWORDS; Analysis, pressure, retention, forces, cone, sliding.

Es indudable que, desde que el hombre ha venido realizando obras de ingeniería se ha visto en la necesidad de resolver diferentes problemas, tales como: asentamientos, deslizamientos, filtraciones, expansiones, etc., todos estos problemas encontrados directamente en el suelo, el cual tiene como función principal soportar todas y cada una de las fuerzas o cargas transmitidas por cualquier estructura que se encuentre sobre su superficie. (Maza, Marzo de 1999)

Haciendo un retroceso en el tiempo puede constatar que desde nuestros antepasados se construían obras a base

de piedras tales como: pirámides, conventos, etc., cuyas paredes prácticamente constituyen muros de grandes dimensiones, dichas obras pueden ser admiradas hasta nuestros días y con un comportamiento estructural sorprendente. La diferencia que puede marcarse entre estos muros y los muros de contención, es que los segundos se encuentran sujetos a la presión que la tierra ejerce sobre su respaldo y no requieren de una estética tan notoria como los primeros. (Maza, Marzo de 1999)

El primer intento para calcular la presión de tierras sobre elementos de soporte con metodología científica fue realizado por

Ch. A. Coulomb, sobre la hipótesis de que la tierra es incompresible, que su deformación antes de la falla es despreciable y que la falla ocurre a lo largo de superficies planas de deslizamiento; la resistencia al esfuerzo cortante del suelo fue, naturalmente, interpretada por Coulomb. (Bardillo & Rodríguez, 2014)

Las teorías y métodos de cálculo expuestos por Coulomb atrajeron gran atención de parte de todos los ingenieros cuyas prácticas, hasta entonces ciegamente empíricas, frecuentemente culminaban en fracasos, y desde entonces su influencia ha sido notoria en el campo teórico inclusive hasta nuestros días. De hecho

puede decirse que desde la época en que las ideas de Coulomb fueron publicadas las concepciones de los ingenieros sobre los fenómenos de presión de tierra no sufrieron variación apreciable, hasta hace algunos años, en que los avances generales de la Mecánica de Suelos introdujeron ideas nuevas en este campo específico. Sin embargo es un hecho histórico aleccionador el que las ideas de Coulomb, atractivas teóricamente, no condujesen en la práctica ingenieril a técnicas que aventajasen a sus predecesoras, pues entre teoría y realidad se marco un claro divorcio. El problema estriba en una cuestión de interpretación de las teo-

rías a la luz de la práctica; en efecto, durante años se aplicaron las ideas de Coulomb sobre la base de que el valor del ángulo ϕ era, en cualquier caso y material, el ángulo de reposo del suelo. (Badillo & Rodríguez, 2014)

Posiblemente el más importante responsable de la larga carrera del concepto de ángulo de reposo en estas cuestiones de Mecánica de Suelos lo fue W. J. Rankine y, aunque Collin Y Darwin demostraron experimentalmente que, por lo menos en algunos casos, el ángulo de fricción interna de un suelo podía diferir tremendamente del de reposo, el uso de este último en la ecuación de resistencia continuo por largo tiempo, debido a la autoridad del citado Rankine. (Badillo & Rodríguez, 2014)

Como resultado de investigaciones más recientes se puso de manifiesto la falacia inherente al concepto ángulo de reposo. Así en arenas colocadas al volteo, el ángulo de reposo pudiera coincidir más u menos con el ϕ correspondiente al estado suelto, pero diferirá seriamente del ϕ de una arena compacta. En arcillas, un criterio ciego pudiera llevar a decir, a la vista de un pequeño corte casi vertical en equilibrio, que ϕ , interpretado como ángulo de reposo, tuviese valores cercanos a los 90° , lo cual, a todas luces, conducirá a resultados absolutamente erróneos en cualquier aplicación práctica en que

la resistencia de la arcilla se interprete a partir de tal dato. (Badillo & Rodríguez, 2014)

Con la interpretación actual en lo referente a los parámetros de resistencia, muchas de las teorías de presión de tierra clásicas permanecen hoy en la aplicación de la Mecánica de Suelos a los problemas prácticos. Así es frecuente en la actualidad ver estructuras de soporte que han sido diseñadas a partir de las teorías expuestas por Rankine y Coulomb. Tales teorías, según tendrá ocasión de discutirse, distan de ser óptimas y están afectadas por hipótesis que están lejos de representar un ideal de perfección, en lo que se refiere al acercamiento con la realidad; pero, en muchos casos, son las demás fáciles aplicación y su manejo, en principio, resulta animador para los ingenieros, en el sentido de que parecen no exigir un criterio de especialista muy desarrollado. Esta sensación, común por otra parte a todas las teorías ingenieriles cuyo desarrollo matemático sea más u menos completo, es en muchos casos engañosa y representa un peligro práctico. Todo indica que no está lejano el día en el que el crecimiento de la Mecánica de Suelos permita el abandono de las Teorías de Rankine o de Coulomb y su sustitución por otras teóricamente más satisfactorias; sin embargo, tal día probablemente aun no ha llegado y la investigación copiosa

que hoy se realiza sobre el tema aún no ha producido una teoría o teorías de uso universal y de desarrollo académicamente adecuado para el nivel de la enseñanza. Por ello, en lo que sigue se encontrarán con una propuesta bastante razonable considerando todas las fuerzas que intervienen directamente con la presión de tierras, a partir de un análisis y programación en una hoja de Excel para dicha ecuación (Pérez Gonzalo), aunque se procurara dar alguna orientación respecto a la dirección de los avances del momento.

ELEMENTOS DE RETENCIÓN Y EMPUJE DE TIERRAS.

La solución más viable para contrarrestar los empujes de tierra ha sido construir muros de contención, los cuales han resuelto el problema en gran medida y permitido el buen funcionamiento de obras como carreteras, puentes, canales, sótanos, etc.

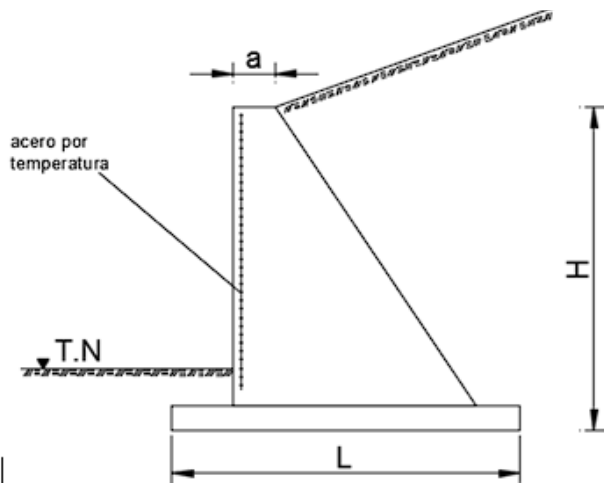
La función principal de los muros de contención es soportar empujes horizontales y verticales y al mismo tiempo proporcionar un soporte lateral a una masa de suelo, agua, o cualquier material que pueda retener; deben su estabilidad principalmente al peso del material que retienen y a los empujes activos y pasivos que este ocasiona. Existen diferentes tipos de muros de contención, y cada uno de ellos posee diferentes

características en cuanto a su funcionalidad, a continuación se describen los tipos más comunes. (Cruz & Hernández, Noviembre 2012)

Muros de gravedad; Los muros de gravedad se construyen normalmente de mampostería de piedra o de concreto simple (con refuerzo por temperatura), están sometidos únicamente a esfuerzos de compresión ya que su peso propio se utiliza para contrarrestar las fuerzas horizontales producidas por el empuje del relleno. Si el muro tiene el paramento inferior inclinado, el peso propio aumenta y con esto disminuyen los efectos producidos por el empuje y ayuda a evitar el volteo. Para asegurarse que en cualquier punto, los esfuerzos sean de compresión, la resultante de las fuerzas en una sección del muro debe pasar por el tercio de la misma. Estos muros resultan económicos cuando tienen una altura máxima de 5 metros. (Maza, Marzo de 1999)

Uno de los inconvenientes de los muros de gravedad es el hecho de que su peso está limitado por la resistencia del cimiento, situación muy importante si el material del mismo es arcilloso. Por contrapartida, la principal ventaja que presentan estos muros es su facilidad para ser construidos y el reducido coste que presentan al ser empleados en estructuras de pequeña altura. Dentro de esta categoría también encuentran los muros criba,

los muros de gaviones y tical y presentan un des-
 los de escollera, que sue- plome del otro lado. Para
 len diseñarse como muros la construcción de este
 de gravedad. (Cruz & Her- tipo de muro es de suma
 nández, Noviembre 2012) importancia utilizar piedra



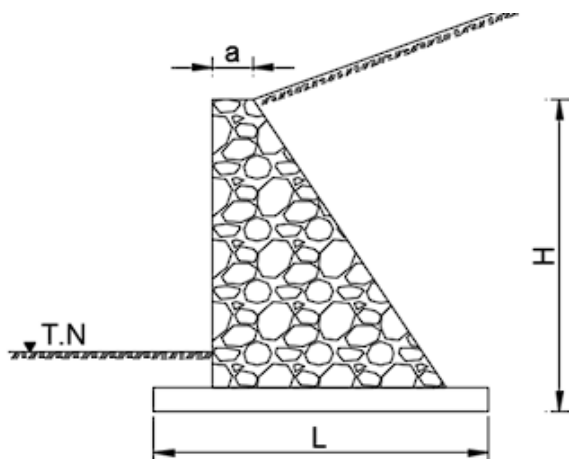
a= ancho de la corona
L= ancho de la base
H= altura

Figura 2.1. Muro de gravedad. (Cruz & Hernández, Noviembre 2012)

Muros de mampostería

Este tipo de muros se construyen generalmente con un espesor constante o con un cierto parámetro de espesor, tienen contacto directo con el terraplén a contener de manera ver-

brazo (roca), para obtener una mejor adherencia entre la piedra y el mortero, además de poder darle forma a la cara del muro con mayor facilidad. Por esta razón no es recomendable utilizar piedras de canto rodado. (Cruz & Hernán-



a= ancho de la corona
L= ancho de la base
H= altura

Figura 2.2. Muro de mampostería(Cruz & Hernández, Noviembre 2012)



Figura 2.3. Muro de gavión(Cruz & Hernández, Noviembre 2012).

de, Noviembre 2012)

Muros de gaviones

Los muros de gaviones están formados por elementos metálicos confeccionados con redes de malla hexagonal de doble torsión, que son rellenos posteriormente con piedras. Estos muros suelen ser de altura moderada (del orden de 5 m), aunque se han construido muros de 25 m de altura con resultados satisfactorios. Las unidades de gaviones son firmemente unidas entre sí con redondos que los conectan, fijados a través de costuras con alambres de iguales características a los que forman las mallas, de modo de formar una estructura continua.

La elección del material a ser empleado en la construcción de este tipo de estructuras, referido esto a las características de la malla o el material de relleno, es fundamental para la obtención de una estructura realmente eficaz. La malla, en particular, debe poseer una elevada resistencia mecánica, elevada resistencia contra la corro-

sión, buena flexibilidad y no ser fácil de desmallar. (Cruz & Hernández, Noviembre 2012).

Muros de concreto armado

En cuanto a las formas de construir un muro de concreto armado, solamente pueden darse unos cuantos modelos a título informativo, ya que es decisión del proyectista adoptar la forma de muro que considere oportuna. En la práctica existen siempre imposiciones de espacio y de características del terreno, y esto es lo que obliga al proyectista a adoptar la solución que considere necesaria. En relación a la consideración geométrica de los muros podemos destacar los siguientes:

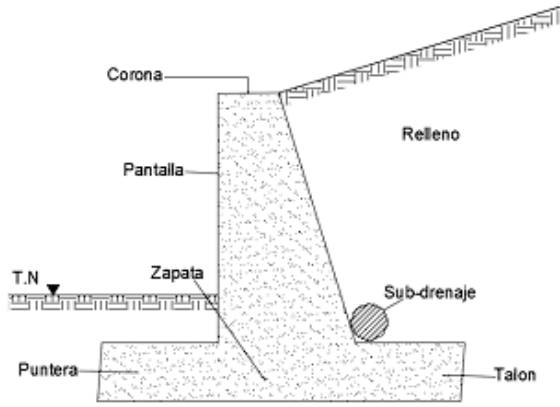


Figura 2.4. Muro en voladizo o ménsula (Cruz & Hernández, Noviembre 2012).

FUERZAS ACTUANTES SOBRE ELEMENTOS DE RETENCIÓN

Para realizar el análisis de estabilidad de un muro de contención, es necesario considerar todas las fuerzas o cargas que intervienen. En general, las fuerzas actuantes contra un muro de retención en el cual la sección estructural se mantenga constante a lo largo de un trecho considerable, pueden calcularse para un segmento unitario de muro en la dirección normal al plano del papel, generalmente un metro. Todas las fuer-

zas posibles que intervienen se mencionan a continuación: Peso propio; Es la presión que el peso del muro (W) transmite al suelo y que además se encarga de contrarrestar el empuje producido por el relleno. Esta fuerza es perpendicular a la superficie de la base. Esta fuerza, que actúa en el centro de gravedad de la sección, puede calcularse cómodamente subdividiendo dicha sección en áreas parciales de cálculo sencillo.

Figura 2.5. Peso propio del muro en áreas parciales. (Badillo, J., & Rodríguez, R. (2014).

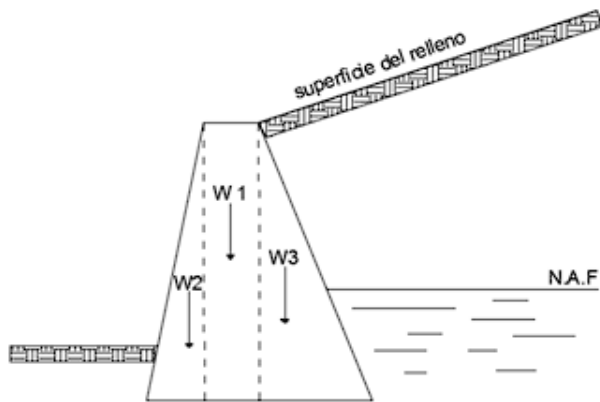


Figura 2.5. Peso propio del muro en áreas parciales. (Badillo, J., & Rodríguez, R. (2014).

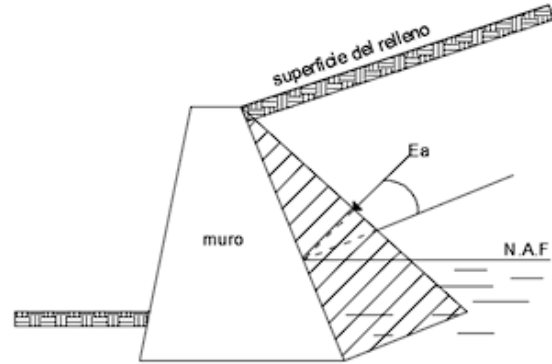


Figura 2.6. Presión del relleno contra el respaldo del muro. (Badillo, J., & Rodríguez, R. (2014).

Presión del relleno contra el respaldo del muro; Es el empuje principal (E_a) producido por el relleno sobre el respaldo del muro y que trata de producir la falla del mismo, con su correspondiente intensidad y distribución. Esta fuerza se presenta regularmente a un tercio de la altura del muro respecto a la base y con un ángulo de inclinación δ respecto a la normal del respaldo del muro.

Componente vertical de las presiones en la cimentación, Usualmente se considera a la presión en la cimentación (base) como linealmente distribuida a lo largo de la línea AC, dando

lugar a un diagrama trapezoidal. La resultante vertical de estas presiones (ΣV) actúa en el centro de gravedad de tal diagrama.

3. ANÁLISIS Y PROGRAMACIÓN DE LA ECUACIÓN DE EMPUJE DE TIERRAS (PÉREZ GONZALO).

FUNDAMENTO TEÓRICO

El número considerable de daños parciales y totales sufridos por estribos de puentes y muros de contención durante eventos sísmicos pone de manifiesto la necesidad de diseñar estas obras apli-

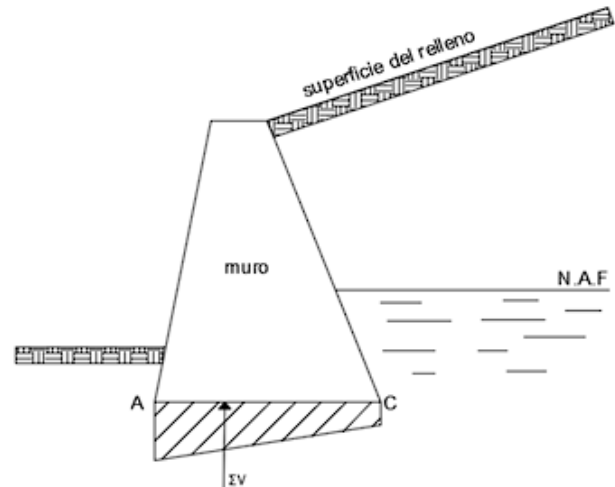


Figura 2.7. Componente vertical de las presiones en la cimentación. (Badillo, J., & Rodríguez, R. (2014).

cando procedimientos y criterios que permitan establecer un adecuado nivel de seguridad.

Debida a esta necesidad, se propone el uso práctico de la Ecuación Pérez Gonzalo, utilizando criterios simplificadorios y razonamientos fundamentados en otros autores. Como, el tratar con material de relleno friccionante y cohesivo – friccionante saturado (se considera nivel freático) o no saturados (nivel de agua muy abajo de la cimentación), se toma en cuenta que la cuña de deslizamiento (área de estudio) es un cuerpo rígido (indeformable), y suelo de cimentación estable.

Considerando estas limitaciones, la Ecuación Pérez Gonzalo, propone una extensión práctica de la teoría de Coulomb sobre el comportamiento de una cuña que se desliza sobre un plano de falla actuando sobre un muro de contención. La idea se fundamenta en introducir fuerzas de inercia generadas en la cuña deslizante, las hipótesis en que se basa la ecuación Pérez Gonzalo, se destacan a continuación:

1) El estado plástico activo se desarrolla por completo en toda la masa del suelo, en la cual se considera homogéneo, isótropo, linealmente elástico y semi-infinito (no es aplicable para el estado plástico pasivo).

2) Los desplazamientos del muro de retención es nulo.

3) Cuando la superficie

del relleno se tome inclinado, debe considerarse un muro rugoso, en caso contrario será liso. Además, si el respaldo del muro es inclinado respecto a la vertical, las presiones resultantes sobre el respaldo del muro, tendrá la misma inclinación mas el ángulo de la rugosidad del muro si es el caso.

4) La sobrecarga considerada será uniformemente distribuida en toda la longitud superficial de la cuña.

5) El tipo de suelo a considerar como material de relleno, será friccionante o cohesivo – friccionante, saturado o no saturado, con niveles freáticos por debajo de la base o arriba como sea el caso.

6) El comportamiento de la cuña de suelo se considera rígido, y la superficie de falla plana, pasando por el pie del muro.

7) La aceleración inducida por un sismo, será uniforme en toda la cuña deslizante. Dicha fuerza de aceleración se obtendrá, multiplicando los coeficientes sísmicos horizontal o vertical por el peso de la cuña (mas la sobrecarga uniforme).

Todas estas hipótesis mencionadas, fueron recopiladas de varios autores, con la idea de ampliar la aplicación de sus ecuaciones y tener una situación muy desfavorable ante cualquier evento de la naturaleza, así mismo se pretende el uso de la misma volviéndola muy práctica (programación de la ecuación) y confiable.

DESARROLLO DE LA TEORIA

Este método consiste en determinar el empuje activo planteando el problema como se muestra en la Figura 3.1.

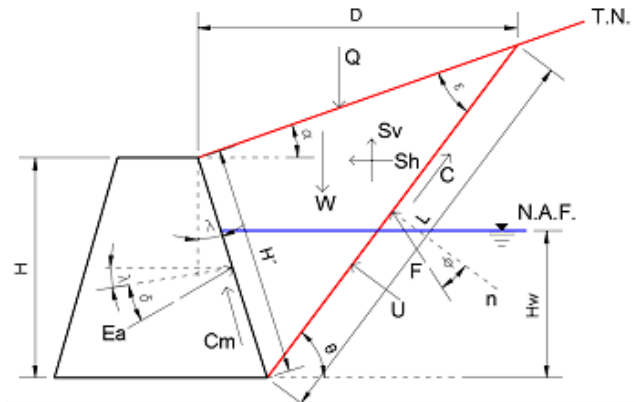


Figura 3.1. Análisis de la ecuación Pérez Gonzalo, (Pérez G. G., 2018).

Donde:

Ea= fuerza debido al empuje activo

F= fuerza resistente debido a la fricción del suelo

Sh= fuerza sísmica horizontal

C= fuerza resistente de-

Para el análisis se realiza una sumatoria de fuerzas horizontales (x) y verticales (y), para el despeje del empuje activo (Ea).

Sumatoria de fuerzas en dirección vertical del plano (y):

$$\Sigma F_y = 0$$

$$-W - Q + Cm \cdot \cos \lambda + Sv + Ea \cdot \sin(\delta + \lambda) + F \cdot \cos(\theta - \varphi) + C \cdot \sin \theta + U \cdot \cos \theta = 0$$

Sumatoria de fuerzas en dirección horizontal del plano (x):

$$\Sigma F_x = 0$$

$$Ea \cdot \cos(\delta + \lambda) - Sh + C \cdot \cos \theta - F \cdot \sin(\theta - \varphi) - U \cdot \sin \theta - Cm \cdot \sin \lambda = 0$$

Despeje de F de la ecuación 1:

$$F \cdot \cos(\theta - \varphi) = W + Q - Cm \cdot \cos \lambda - Sv - Ea \cdot \sin(\delta + \lambda) - C \cdot \sin \theta - U \cdot \cos \theta$$

Sustitución de F en la ecuación 2 y despeje del empuje activo (Ea):

$$Ea \cdot \cos(\delta + \lambda) - Sh + C \cdot \cos \theta - [W + Q - Cm \cdot \cos \lambda - Sv - Ea \cdot \sin(\delta + \lambda) - C \cdot \sin \theta - U \cdot \cos \theta] \cdot \sin(\theta - \varphi) - U \cdot \sin \theta - Cm \cdot \sin \lambda = 0$$

$$Ea \cdot \cos(\delta + \lambda) - Sh + C \cdot \cos \theta - [W + Q - Cm \cdot \cos \lambda - Sv - Ea \cdot \sin(\delta + \lambda) - C \cdot \sin \theta - U \cdot \cos \theta] \cdot \tan(\theta - \varphi) - U \cdot \sin \theta - Cm \cdot \sin \lambda = 0$$

$$Ea \cdot \cos(\delta + \lambda) + Ea \cdot \sin(\delta + \lambda) \cdot \tan(\theta - \varphi) = Sh - C \cdot \cos \theta + [W + Q - Cm \cdot \cos \lambda - Sv - C \cdot \sin \theta - U \cdot \cos \theta] \cdot \tan(\theta - \varphi) + U \cdot \sin \theta + Cm \cdot \sin \lambda$$

$$Ea = Sh - C \cdot \cos \theta + [W + Q - Cm \cdot \cos \lambda - Sv - C \cdot \sin \theta - U \cdot \cos \theta] \cdot \tan(\theta - \varphi) + U \cdot \sin \theta + Cm \cdot \sin \lambda \cdot \cos(\delta + \lambda) + \sin(\delta + \lambda) \cdot \tan(\theta - \varphi)$$

bida a la cohesión del suelo

W= peso de la cuña

Q= sobre carga repartida sobre la cuña

Cm= fuerza resistente debida a la adherencia entre muro y suelo

Sv= fuerza sísmica vertical

U= fuerza de Subpresión hidráulica

theta = ángulo de inclinación de la cuña

lambda = ángulo de inclinación del respaldo del muro

Phi = ángulo de fricción interna del suelo

delta = ángulo de fricción externa entre muro y suelo

alpha = ángulo de inclinación del terreno

Todas las fuerzas involucradas se determinan por separado, para su demostración y validez de la ecuación.

4. APLICACIÓN Y ANÁLISIS DE LA ECUACION

DE EMPUJE DE TIERRAS (PEREZ GONZALO) CONSIDERANDO EFECTO SISMICO A TRAVES DE UNA HOJA DE CALCULO EXCEL”

El número considerable de daños parciales y totales sufridos por estribos de puentes y muros de contención durante eventos sísmicos pone de manifiesto la necesidad de diseñar estas obras aplicando procedimientos y criterios que permitan establecer un adecuado nivel de seguridad.

Debida a esta necesidad, se propone el uso práctico de la Ecuación Pérez Gonzalo, utilizando criterios simplificadorios y razonamientos fundamentados en otros autores. Como, el tratar con material de relleno friccionante y cohesivo – friccionante saturado (se considera nivel freático) o no saturados (nivel de agua muy abajo de la cimentación), se toma en cuenta que la cuña de deslizamiento (área de estudio) es un cuerpo rígido (indeformable), y suelo de cimentación estable.

Considerando estas limitaciones, la Ecuación Pérez Gonzalo, propone una extensión práctica de la teoría de Coulomb sobre el comportamiento de una cuña que se desliza sobre un plano de falla actuando sobre un muro de contención. La idea se fundamenta en introducir fuerzas de inercia generadas en la cuña deslizante, las hipótesis en que se basa la ecuación Pérez Gonzalo, se destacan a continua-

ción:

1) El estado plástico activo se desarrolla por completo en toda la masa del suelo, en la cual se considera homogéneo, isótropo, linealmente elástico y semi-infinito (no es aplicable para el estado plástico pasivo).

2) Los desplazamientos del muro de retención es nulo.

3) Cuando la superficie del relleno se tome inclinado, debe considerarse un muro rugoso, en caso contrario será liso. Además, si el respaldo del muro es inclinado respecto a la vertical, las presiones resultantes sobre el respaldo del muro, tendrá la misma inclinación mas el ángulo de la rugosidad del muro si es el caso.

4) La sobrecarga considerada será uniformemente distribuida en toda la longitud superficial de la cuña.

5) El tipo de suelo a considerar como material de relleno, será friccionante o cohesivo – friccionante, saturado o no saturado, con niveles freáticos por debajo de la base o arriba como sea el caso.

6) El comportamiento de la cuña de suelo se considera rígido, y la superficie de falla plana, pasando por el pie del muro.

7) La aceleración inducida por un sismo, será uniforme en toda la cuña deslizante. Dicha fuerza de aceleración se obtendrá, multiplicando los coeficientes sísmicos horizontal o vertical por el peso de la cuña (mas la sobrecarga uniforme).

Todas estas hipótesis mencionadas, fueron recopiladas de varios autores, con la idea de ampliar la aplicación de sus ecuaciones y tener una situación muy desfavorable ante cualquier evento de la naturaleza, así mismo se pretende el uso de la misma

volviéndola muy practica (programación de la ecuación) y confiable.

4.2 DESARROLLO DE LA TEORIA

Este método consiste en determinar el empuje activo planteando el problema como se muestra en la Figura 4.2.1.

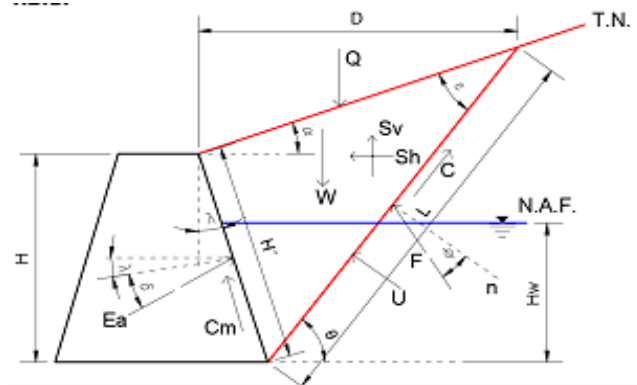


Figura 4.2.1. Análisis de la ecuación Pérez Gonzalo, (Pérez G. G., 2018).

Para el análisis se realiza una sumatoria de fuerzas horizontales (x) y verticales (y), para el despeje del empuje activo (Ea).

Sumatoria de fuerzas en dirección vertical del plano (y):

$$\sum F_y = 0$$

$$-W - Q + C_m \cos \lambda + S_v + E_a \sin(\delta + \lambda) + F \cos(\theta - \phi) + C \sin \theta + U \cos \theta = 0$$

1
Y
X
“
72

Sumatoria de fuerzas en dirección horizontal del plano (x):

$$\sum F_x = 0$$

$$E_a \cos(\delta + \lambda) - S_h + C \cos \theta - F \sin(\theta - \phi) - U \sin \theta - C_m \sin \lambda = 0$$

Despeje de F de la ecuación 1:

$$F \cos(\theta - \phi) = W + Q - C_m \cos \lambda - S_v - E_a \sin(\delta + \lambda) - C \sin \theta - U \cos \theta$$

Sustitución de F en la ecuación 2 y despeje del empuje activo (Ea):

$$E_a \cos(\delta + \lambda) - S_h + C \cos \theta - [W + Q - C_m \cos \lambda - S_v - E_a \sin(\delta + \lambda) - C \sin \theta - U \cos \theta] \sin(\theta - \phi) - U \sin \theta - C_m \sin \lambda = 0$$

$$E_a \cos(\delta + \lambda) - S_h + C \cos \theta - [W + Q - C_m \cos \lambda - S_v - E_a \sin(\delta + \lambda) - C \sin \theta - U \cos \theta] \tan(\theta - \phi) - U \sin \theta - C_m \sin \lambda = 0$$

$$E_a \cos(\delta + \lambda) + E_a \sin(\delta + \lambda) \tan(\theta - \phi) = S_h - C \cos \theta + [W + Q - C_m \cos \lambda - S_v - C \sin \theta - U \cos \theta] \tan(\theta - \phi) + U \sin \theta + C_m \sin \lambda$$

Donde:

Ea = fuerza debido al empuje activo

F = fuerza resistente debido a la fricción del suelo

Sh = fuerza sísmica horizontal

C = fuerza resistente debida a la cohesión del suelo

W= peso de la cuña

Q= sobre carga repartida sobre la cuña

2

3

4

$$Ea = Sh - C \cos \theta + [W + Q - Cm \cos \lambda - Sv - C \sin \theta - U \cos \theta] \tan(\theta - \varphi) + U \sin \theta + C \sin \lambda \cos(\delta + \lambda) + \sin(\delta + \lambda) \tan(\theta - \varphi)$$

$$F = W + Q - Cm \cos \lambda - Sv - Ea \sin(\delta + \lambda) - C \sin \theta - U \cos \theta \cos(\theta - \varphi)$$

Cm= fuerza resistente debida a la adherencia entre muro y suelo

Sv= fuerza sísmica vertical

U= fuerza de Subpresión hidráulica

θ = ángulo de inclinación de la cuña

λ = ángulo de inclinación del respaldo del muro

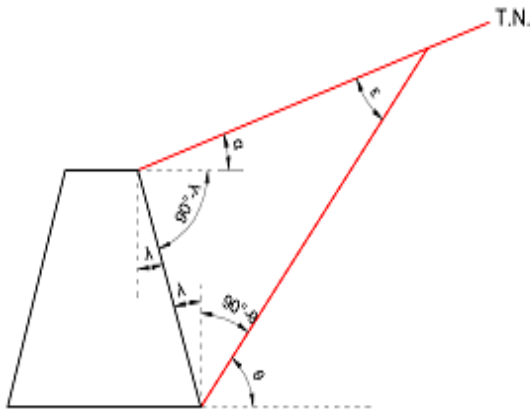
Φ = ángulo de fricción interna del suelo

δ = ángulo de fricción interna entre muro y suelo

α = ángulo de inclinación del terreno

Todas las fuerzas involucradas se determinan por separado, para su demostración y validez de la ecuación.

□ Dedución de las fuerzas involucradas en la ecuación 4:

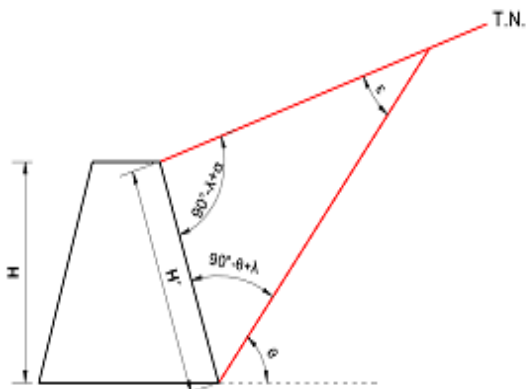


4.2.2. Ángulos internos de la cuña de deslizamiento, (Pérez G. G. ,2018). $180^\circ = (90^\circ - \theta + \lambda) + (90^\circ - \lambda + \alpha) + \varepsilon$

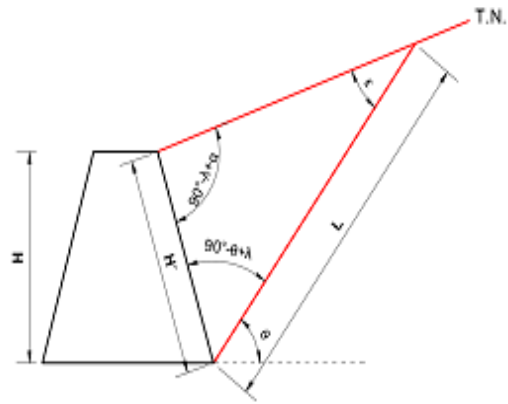
$$180^\circ = 180^\circ - \theta + \alpha + \varepsilon$$

5

$$\varepsilon = \theta - \alpha$$



4.2.3. Longitud del respaldo del muro, (Pérez G. G. ,2018). $\cos \lambda = \frac{H}{H'}$



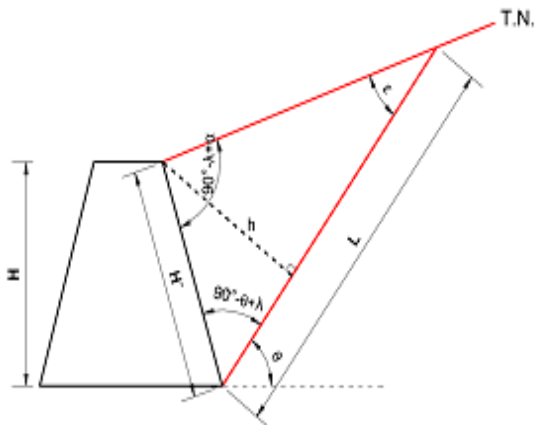
4.2.4. Longitud de la línea de falla en la cuña, (Pérez G. G. ,2018)..

$$H' = H \cos \lambda = H \sec \lambda$$

6

Aplicando la ley de senos se obtiene:

$$H' \sin \varepsilon = L \sin(90^\circ - \lambda + \alpha)$$



4.2.5. Altura perpendicular a la línea de falla de la cuña, (Pérez G. G. ,2018).

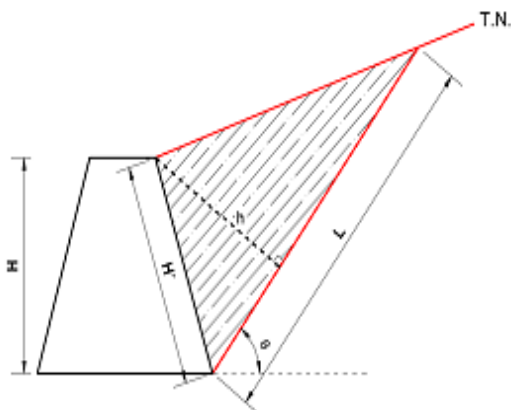
$$\sin(90^\circ - \theta + \lambda) = \frac{h}{H'}$$

$$h = (H \sec \lambda) \sin(90^\circ - \theta + \lambda)$$

7

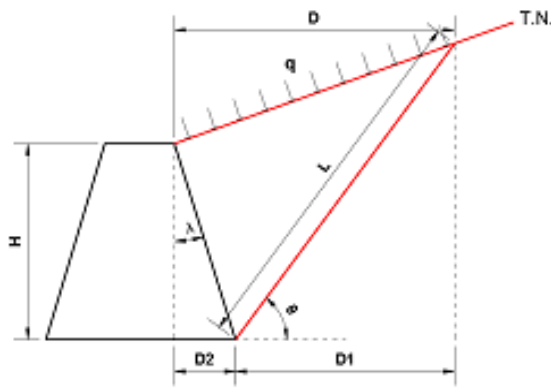
8

$$L = (H \sec \lambda) \sin(90^\circ - \lambda + \alpha) \sin \varepsilon$$



4.2.6. Área de la cuña, (Pérez G. G. ,2018). $A = L \cdot h = \frac{1}{2} [(H \sec \lambda) \sin(90^\circ - \lambda + \alpha) \sin \varepsilon] \cdot [(H \sec \lambda) \sin(90^\circ - \theta + \lambda)]$

2



4.2.7. Sobrecarga distribuida uniformemente, (Pérez G. G., 2018).

$$A = (H \cdot \sec \lambda)^2 \cdot \sin(90^\circ - \lambda + \alpha) \cdot \sin(90^\circ - \theta + \lambda) \cdot 2 \cdot \sin \epsilon$$

$$W = \gamma m \cdot A$$

$$10$$

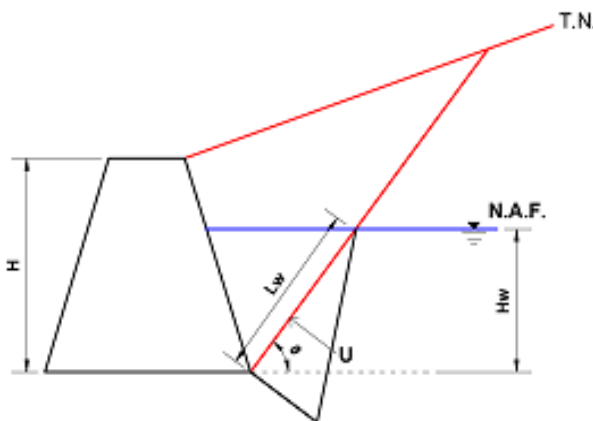
$$\cos \theta = D1/L \quad \therefore D1 = L \cdot \cos \theta \quad \tan \lambda = D2/H \quad \therefore D2 = H \cdot \tan \lambda$$

$$D = D1 + D2$$

$$Q = q \cdot D$$

$$C = c \cdot L$$

$$Cm = cm \cdot H'$$



4.2.8. Consideración de Nivel de Agua Freática, (Pérez G. G., 2018).

$$\sin \theta = Hw/Lw$$

$$U = (Hw \cdot \csc \theta) \cdot (Hw + \gamma w) \cdot 2$$

$$Lw = Hw \cdot \csc \theta$$

$$U = Hw^2 \cdot \gamma w \cdot \csc^2 \theta$$

$$Sh = csh \cdot (W + Q)$$

$$Sv = csv \cdot (W + Q)$$

5. PROGRAMACION DE LA ECUACION

Se observa que para el cálculo del empuje en la ecuación propuesta, es muy parecida a la ecuación de Coulomb por la variación del ángulo de inclinación de la cuña, solamente cambia, con la implementación del empuje hidrostático y fuerzas sísmicas consideradas.

Para calcular el empuje máximo o crítico se varía en ángulo de inclinación θ , es por eso que se opta por una programación en una hoja de cálculo (Excel) para encontrar dicho empuje de manera rápida para cada valor de θ .

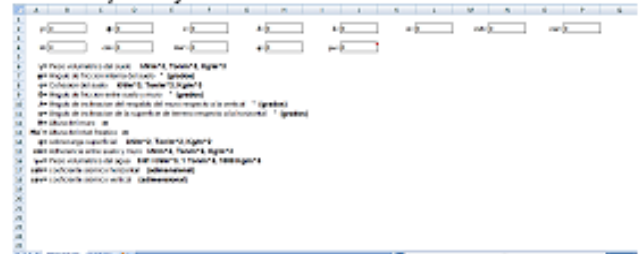
Primeramente se realizan dos columnas en Excel, una para el valor del ángulo θ y otra para el ángulo ϵ , donde, este último resulta de la diferencia del ángulo θ y α (inclinación del relleno con la horizontal), y solo se aceptan valores positivos.

Tabla 5. Valores del ángulo de inclinación

θ	ϵ
0°	0° - α
1°	1° - α
2°	2° - α
3°	3° - α
...	...
90°	90° - α

Posteriormente se realiza otra columna en E, para calcular H' , para esto será necesario tener dos hojas de Excel, una que me permita introducir parámetros del cálculo y otra donde estén las formulas (fig. 5.1). Por lo que en E4 se introduce la siguiente fórmula:

$$= (\text{PROGRAMA!} \$B\$4) / \text{COS}(\text{PROGRAMA!} \$J\$2 * 3.1416/180)$$



5.1. Hoja de parámetros del cálculo, (Pérez G. G., 2018).

Para calcular la longitud de la cuña de falla se realiza otra columna en F y se introduce la siguiente fórmula en F4: $=E4 * \text{SENO}((90 + \text{PROGRAMA!} \$L\$2 - \text{PROGRAMA!} \$J\$2) * 3.1416/180) / (\text{SENO}(\text{FUERZAS!} D4 * 3.1416/180))$

Nuevamente se debe crear otra columna en G, con el fin de poder calcular la altura del triángulo de la cuña de deslizamiento, introduciendo en G4 la fórmula:

$$=E4 * \text{SENO}((90 - C4 + \text{PROGRAMA!} \$J\$2) * 3.1416/180)$$

En la columna H debe agregarse el cálculo del área de la cuña en estudio, y en la H4 se introduce la siguiente fórmula:

$$=F4 * G4 / 2$$

Para el cálculo del peso de la cuña, se introduce en I4 la fórmula:

$$=H4 * \text{PROGRAMA!} \$B\$2$$

Hoja de parámetros

Hoja de Formulas

En la columna J se calcula la distancia horizontal de la superficie de la cuña, para ello se utiliza la siguiente fórmula:

=F4*COS(C4*3.1416/180)+PROGRAMA!\$B\$4*TAN(P
ROGRAMA!\$J\$2*3.1416/180)

Una vez obtenida la distancia horizontal, se procede a calcular la sobrecarga en la superficie, creando una columna en K, e introduciendo la siguiente fórmula en K4:

=J4*PROGRAMA!\$H\$4

Para la fuerza resistente debida a la cohesión, se usa la columna L, y se introduce en L4 la siguiente fórmula:

=F4*PROGRAMA!\$F\$2

En la columna M se calcula la fuerza resistente debida a la adherencia entre muro y suelo, para ello se introduce en M4 la fórmula:

=E4*PROGRAMA!\$D\$4

Para conocer la fuerza de Subpresión hidráulica, es necesario calcular antes la longitud donde se desarrolla dicha presión, para eso se ocupa la columna N y se escribe en N4 la fórmula:

=PROGRAMA!\$F\$4/SENO(FUERZAS!C4*3.1416/180)

Una vez obtenido lo anterior se usa la columna O para conocer la Subpresión hidráulica si existe en el muro y se introduce en O4 la siguiente fórmula:

=(N4*PROGRAMA!\$F\$4*PROGRAMA!\$J\$4)/2

Para los cálculos de la fuerza sísmica horizontal se usara la columna P, y en la celda P4 se escribe la fórmula:

=(I4+K4)*PROGRAMA!\$N\$2

Por lo consiguiente, para la fuerza sísmica vertical se ocupara la columna Q, y se escribirá en la celda Q4 la fórmula:

=(K4+I4)*PROGRAMA!\$P\$2

Teniendo todos los valores de distancias, ángulos y fuerzas, se ocupara la columna R específicamente para determinar la fuerza resistente debido a la fricción del suelo, escribiendo en R4 la siguiente fórmula:

=(I4+K4-M4*COS(PROGRAMA!\$J\$2*3.1416/180)-

FUERZAS!Q4-

FUERZAS!B4*SENO((PROGRAMA!\$H\$2+PROGRA
MA!\$J\$2)*3.1416/180)-

FUERZAS!L4*SENO(FUERZAS!C4*3.1416/180)-

FUERZAS!O4*COS(FUERZAS!C4*3.1416/180))/(COS
((FUERZAS!C4-PROGRAMA!\$D\$2)*3.1416/180))

Una vez completado los parámetros que permiten calcular el empuje de suelo, se ocupa la columna B para esta ecuación y se escribe en B4 la fórmula:

=SI(D4>0,(P4-

L4*COS(C4*3.1416/180)+O4*SENO(C4*3.1416/180)+

M4*SENO(PROGRAMA!\$J\$2*3.1416/180)+TAN((C4-
PROGRAMA!\$D\$2)*3.1416/180)*(FUERZAS!I4+FUE
RZAS!K4-

FUERZAS!M4*COS(PROGRAMA!\$J\$2*3.1416/180)-

FUERZAS!Q4-

FUERZAS!L4*SENO(FUERZAS!C4*3.1416/180)-

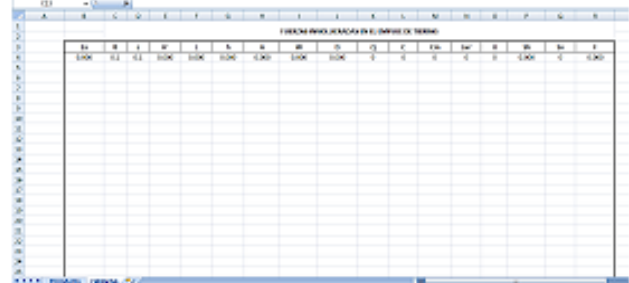
FUERZAS!O4*COS(FUERZAS!C4*3.1416/180))/(CO
S((PROGRAMA!\$H\$2+PROGRAMA!\$J\$2)*3.1416/18

0)+TAN((FUERZAS!C4-

PROGRAMA!\$D\$2)*3.1416/180)*SENO((PROGRAM
A!\$H\$2+PROGRAMA!\$J\$2)*3.1416/180)),0)

Se condiciona la fórmula debido a que no queremos que nos considere el ángulo negativo ϵ , y por lo consiguiente nos tome en cuenta un empuje negativo.

Al final, en la hoja de cálculo de fuerzas (fórmulas) nos debe quedar cada columna en el orden indicado como lo muestra la figura 5.2, con la finalidad que las fórmulas antes escritas puedan correr sin ningún problema.



5.2. Orden en columnas para el cálculo de las fuerzas, (Pérez G. G., 2018).

Una vez corrido las fórmulas hasta un ángulo θ de 90°, con un incremento de 0.1, será necesario encontrar el valor máximo del empuje, para esto, se escribirá en la hoja de parámetros (programa), celda N5 la siguiente fórmula:

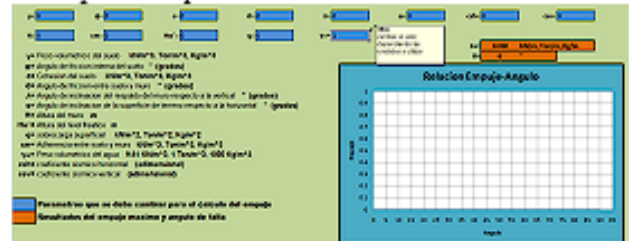
=MAX (FUERZAS!B4:B903)

Con el fin de darle más importancia al ángulo de falla de la cuña, se obtendrá este para lo cual la fuerza del empuje es máximo, escribiendo en la hoja de parámetros, celda N6 la fórmula:

=BUSCARV(M5,FUERZAS!B3:C903,2,FALSO)

Ahora solo resta editar la hoja de parámetros de manera que al ingresar los datos geométricos del muro y condición del suelo, este pueda realizar los cálculos correspondientes de manera segura, como lo muestra la figura 5.3.

Es necesario que los datos a ingresar estén en las mismas unidades y que el peso volumétrico del agua se cambie al valor que corresponda.



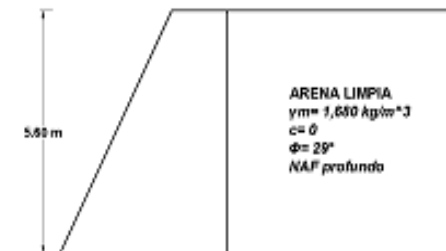
5.3. Programa para calcular el empuje de suelo utilizando la ecuación Pérez Gonzalo. (Pérez G. G., 2018).

6. APLICACIÓN DE ECUACION PROPUESTA A EMPUJE DE TIERRAS PARA SU DEMOSTRACION

Para poder hacer valida la Ecuación Pérez Gonzalo y su programación, será necesario comparar con otros

métodos antes mencionados, para lo cual se utilizara el método de Rankine, método de Coulomb, método de Terzaghi y formula de Mononobe - Okabe, donde cada uno tiene límites diferentes de aplicabilidad y parámetros propios.

Con ello se pretende darle un rango amplio de aplicación a la Ecuación propuesta, logrando que su uso sea práctico y sencillo, para todo aquel que pretenda utilizarlo.



ARENA LIMPIA
 $\gamma_m = 1,680 \text{ kg/m}^3$
 $c = 0$
 $\phi = 29^\circ$
 NAF profundo

6.1 Método de Rankine contra ecuación Pérez Gonzalo. (Pérez G. G., 2018).

Ejemplo 1: determine la magnitud de la fuerza de empuje activo, E_a , que produce un relleno de arena limpia sobre la pared vertical lisa interna (paramento) de un muro que tiene 5.60 m de altura.

El peso volumétrico seco de la arena es de 1,680 kg/m³, el ángulo de fricción interna de 29°, y el nivel de aguas freáticas, N.A.F., es profundo (figura 6.1).

Figura 6.1. Ejemplo 1 de empuje de tierras (Rankine).

Propósito: calcular el empuje de un relleno puramente friccionante por el método de Rankine y la ecuación Pérez Gonzalo.

□ Solución por el método de Rankine

$$EA = 12KA\gamma H^2$$

Donde $KA = \tan^2(45^\circ - \phi/2) = \tan^2(45^\circ - 29^\circ/2) = 0.347$
 $EA = 12(0.347) * (1,680 \text{ kg/m}^3) * (5.60 \text{ m})^2 = 9,140 \text{ kg/m}^3$

□ Solución por la ecuación Pérez Gonzalo

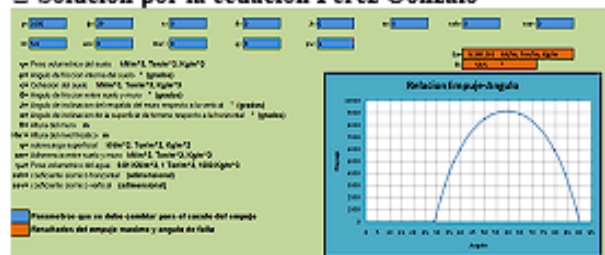


Figura 6.2. Análisis del ejemplo 1 con la ecuación Pérez Gonzalo. (Pérez G. G., 2018).

Colocando los parámetros del muro y suelo, se observa que el empuje activo es $E_a = 9,140.161 \text{ kg/m}$ y esto ocurre a un ángulo de falla $\theta = 59.5^\circ$. Para poder corroborar los valores se sustituirá los datos en cada ecuación correspondiente. $\epsilon = \theta - \alpha = 59.5^\circ - 0^\circ = 59.5^\circ$

$$H' = H \cos \lambda = 5.60 \text{ m} \quad m \cos 0^\circ = 5.60 \text{ m}$$

$$L = (H') * \sin(90^\circ - \lambda + \alpha) \sin \epsilon = (5.60 \text{ m}) * \sin(90^\circ - 0^\circ + 0^\circ) \sin 59.5^\circ = 6.50 \text{ m}$$

$$h = (H') * \sin(90^\circ - \theta + \lambda) = (5.60 \text{ m}) * \sin(90^\circ - 59.5^\circ + 0^\circ) = 2.842 \text{ m}$$

$$A = L * h^2 = (6.50 \text{ m}) * (2.842 \text{ m})^2 = 9.236 \text{ m}^2$$

$$W = \gamma_m * A = (1,680 \text{ kg/m}^3) * (9.236 \text{ m}^2) = 15,516.87 \text{ kg/m}$$

$$D = L * \cos \theta + H * \tan \lambda = (6.50 \text{ m}) * \cos 59.5^\circ + (5.6 \text{ m}) * \tan 0^\circ = 3.3 \text{ m}$$

$$Q = q * D = 0 \text{ kg/m} \quad C = c * L = 0 \text{ kg/m}$$

$$C_m = c_m * H' = 0 \text{ kg/m} \quad L_w = H_w * \csc \theta = 0 \text{ m}$$

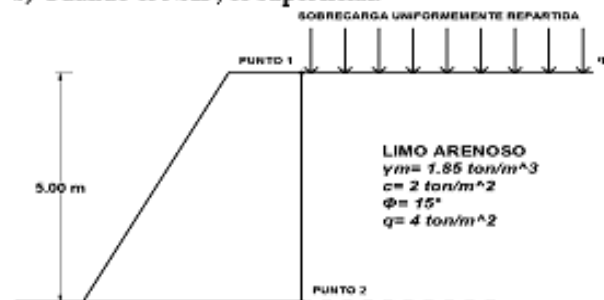
$$U = H_w^2 * \gamma_w * \csc^2 \theta = 0 \text{ kg/m} \quad S_h = c_s h * (W + Q) = 0 \text{ kg/m}$$

$$S_v = c_s v * (W + Q) = 0 \text{ kg/m}$$

$$E_a = 0 - 0 \cos 59.5^\circ + [15,516.87 + 0 - 0 \cos 0^\circ - 0 - 0 \sin 59.5^\circ - 0 \cos 59.5^\circ] * \tan(59.5^\circ - 29^\circ) + 0 \sin 59.5^\circ + 0 \sin 0^\circ \cos(0^\circ + 0^\circ) + \sin(0^\circ + 0^\circ) * \tan(59.5^\circ - 29^\circ) \quad E_a = 9,140.16 \text{ kg/ml} + 0 = 9,140.16 \text{ kg/m}$$

Ejemplo 2: determine el empuje activo que produce un limo arenoso sobre la pared vertical lisa interna de un muro que tiene 5.00 m de altura. La sobrecarga es de 4 ton/m². El peso volumétrico de la masa de suelo es de 1.85 ton/m³, la cohesión es de 2 ton/m² y el ángulo de fricción interna de 15° (fig.4.4.3). Para los casos siguientes:

- Cuando el NAF, es profundo.
- Cuando el NAF, es superficial.



SOBRECARGA UNIFORMEMENTE REPARTIDA
 PUNTO 1
 PUNTO 2
 LIMO ARENOSO
 $\gamma_m = 1.85 \text{ ton/m}^3$
 $c = 2 \text{ ton/m}^2$
 $\phi = 15^\circ$
 $q = 4 \text{ ton/m}^2$

Figura 6.3. Ejemplo 2 de empuje de tierras (Rankine). (Pérez G. G., 2018).

Propósito: calcular el efecto de una carga externa uniformemente repartida en un relleno con cohesión y fricción, cuando el nivel de las aguas freáticas esta alto y cuando esta profundo.

Solución por el método de Mononobe - Okabe

La componente vertical del sismo es igual a cero ($K_v = 0$).

Aplicando la formula de Mononobe - Okabe con: $\varphi = 35^\circ$, $\omega = 0^\circ$, $\beta = 10^\circ$, $\delta = 23.33^\circ$

$$\theta = \arctg(K_h(1 - K_v)) = \arctg(0.21 + 0) = 11.31^\circ$$

$$K_{ad} = \cos^2(35^\circ - 0^\circ - 11.31^\circ) \cos 11.31^\circ * \cos 20^\circ * \cos(23.33^\circ + 0^\circ + 11.31^\circ) [1 + \sqrt{\sin(23.33^\circ + 35^\circ) \sin(35^\circ - 10^\circ - 11.31^\circ) \cos(23.33^\circ + 0^\circ + 11.31^\circ) \cos(10^\circ - 0^\circ)}] \quad K_{ad} = 0.464$$

El empuje total debido al empuje estático mas el del sismo vale:

$$EAT = 12\gamma H^2(1 - K_v)K_{ad} = 12 * (1.75 \text{ ton/m}^3) * (6 \text{ m})^2 * (1 - 0) * (0.464) = 14.62 \text{ ton/m}$$

El empuje estático vale: $EAE = 12 * (1.75 \text{ ton/m}^3) * (6 \text{ m})^2 \cos^2(35^\circ - 0^\circ) \cos 20^\circ \cos(23.33^\circ + 0^\circ) [1 + \sqrt{\sin(23.33^\circ +$

$$35^\circ)\text{sen}(35^\circ-10^\circ)\text{cos}(23.33^\circ+0^\circ)\text{cos}(0^\circ-10^\circ)]2$$

$$EAE=8.656 \text{ ton/m}$$

El empuje, debido al sismo, es igual al empuje total menos el empuje estático:

$$EAD=14.62\text{tonm}-8.656\text{tonm}=5.964 \text{ ton/m}$$

□ Solución por la ecuación Pérez Gonzalo

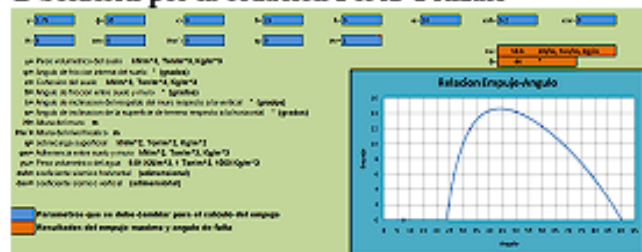


Figura 6.4. Análisis del ejemplo 5 con la ecuación Pérez Gonzalo. (Pérez G. G., 2018).

Colocando los parámetros del muro y suelo, se observa que el empuje activo es $E_a = 14.60 \text{ ton/m}$ y esto ocurre a un ángulo de falla $\theta = 44^\circ$. Para poder corroborar los valores se sustituirá los datos en cada ecuación correspondiente. $\varepsilon = \theta - \alpha = 44^\circ - 10^\circ = 34^\circ$

$$H' = H \cos \lambda = 6.0 \text{ m} \quad m \cos 0^\circ = 6.0 \text{ m}$$

$$L = (H') \cdot \sin(90^\circ - \lambda + \alpha) \sin \varepsilon = (6 \text{ m}) \cdot \sin(90^\circ - 0^\circ + 10^\circ) \sin 34^\circ = 10.567 \text{ m}$$

$$h = (H') \cdot \sin(90^\circ - \theta + \lambda) = (6 \text{ m}) \cdot \sin(90^\circ - 44^\circ + 0^\circ) = 4.316 \text{ m}$$

$$A = L \cdot h = (10.567 \text{ m}) \cdot (4.316 \text{ m}) = 22.803 \text{ m}^2$$

$$W = \gamma m \cdot A = (1.75 \text{ ton/m}^3) \cdot (22.803 \text{ m}^2) = 39.906 \text{ ton/m}$$

$$D = L \cdot \cos \theta + H \cdot \tan \lambda = (10.567 \text{ m}) \cdot \cos 44^\circ + (6 \text{ m}) \cdot \tan 0^\circ = 7.601 \text{ m}$$

$$Q = q \cdot D = 0 \text{ kg/m} \quad C = c \cdot L = 0 \text{ kg/m}$$

$$C_m = c_m \cdot H = 0 \text{ kg/m} \quad L_w = H_w \cdot \csc \theta = 0 \text{ m}$$

$$U = H_w \cdot 2 + \gamma_w \cdot \csc \theta = 0 \text{ kg/m}$$

$$S_h = c_s h + (W + Q) = (0.2) \cdot (39.906 \text{ ton/m} + 0 \text{ ton/m}) = 7.981 \text{ kg/m}$$

$$S_v = c_s v + (W + Q) = 0 \text{ kg/m}$$

$$E_a = 7.981 - 0 \cos 44^\circ + [39.906 + 0 - 0 \cos 0^\circ - 0 \sin 44^\circ - 0 \cos 44^\circ] \cdot \tan(44^\circ - 35^\circ) + 0 \sin 44^\circ + 0 \sin 0^\circ \cos(23.33^\circ + 0^\circ) + \sin(23.33^\circ + 0^\circ) \cdot \tan(44^\circ - 35^\circ)$$

$$E_a = 7.981 \text{ ton/m} + 6.32 \text{ ton/m} = 14.60 \text{ ton/m}$$

$$E_a = 7.981 \text{ ton/m} + 6.32 \text{ ton/m} = 14.60 \text{ ton/m}$$

7. CONCLUSIONES

Las estructuras de retención son muy complejas de analizar en su profundidad y tan útiles en diversas obras de ingeniería, como los estribos en puentes y estabilidad de carreteras. Su diseño depende principalmente de las características de la estructura y de la tierra a soportar.

La ecuación propuesta abarca en su totalidad todos los efectos que la estructura pudiera sufrir en cualquier instante. Su comprobación con las teorías de Rankine, Coulomb y Mononobe - Okabe, resultó estar muy cerca como se demostró anteriormente, y no fue casualidad alguna que los valores coincidieran, si no, que el razonamiento propuesto en la ecuación Pérez Gonzalo, es muy similar a estas teorías, lo único planteado fue, una extensión de las mismas, con el fin de simular lo más próximo a la realidad y buscar condiciones crítica.

Lo práctico de la ecuación presentada, radica en la programación y formulación de las ecuaciones, ya que solo se necesita ingresar los parámetros geométricos del muro y características del suelo, y los resultados encontrados serán los del empuje máximo.

Con esta aportación quedan demostrados los conocimientos en varias materias de la ingeniería civil como, la geometría analítica, trigonometría, programación y mecánica de suelos, que durante la carrera se ha adquirido.

REFERENCIAS

- 1-Badillo, J., & Rodríguez, R. (2014). Mecánica de Suelos, Tomo 2. México: Limusa, 2a. Edición.
- 2-Cruz, J. C., & Hernández, J. A. (Noviembre 2012). Diseño y revisión de muro de contención perimetral de la Ciudad de Tuxtla Gutiérrez, Chiapas. Tuxtla Gutiérrez, Chiapas: Facultad de Ingeniería, UNACH.
- 3-Das, B. M. (2001). Fundamentos de Ingeniería Geotécnica. México: THOMSON LEARNING.
- 4-Deméneghi Colina, A., & Puebla Cadena, M. (2010). Apuntes de Mecánica de Suelos, Volumen 1. Ciudad de México: UNAM.
- 5-Excel, M. O. (19 de Enero de 2011). www.ebriik.com. Recuperado el 21 de Marzo de 2018, de <https://www.uv.mx/personal/llopez/files/2013/03/Manual-Microsoft-Office-Excel-2010.pdf>
- 6- Lavallo, E. D. (2013). Problemas Básicos de Empujes de Suelos Sobre Estructuras de Soporte. México: M. en A. Soledad Moliné Venanzi.
- 7- Maza, M. A. (Marzo de 1999). Diseño y Construcción de Muros de Contención. Tuxtla Gutiérrez, Chiapas: Facultad de Ingeniería, UNACH.
- 8- Pérez G. G. (2018). "Análisis de la Ecuación de Empuje de Tierras (Pérez Gonzalo) considerando efecto sísmico a través de programación excel": UNACH-FACULTAD DE INGENIERIA.
- 9-Ramírez de la Cruz, J. C. (2012). Diseño y Revisión del Muro de Contención Perimetral de la Zona del Libramiento SUR-PONIENTE de la Ciudad de Tuxtla Gutiérrez, Chiapas. Tuxtla Gutiérrez: UNACH-FACULTAD DE INGENIERIA.
- 10-UPC, I. G.-G. (s.f.). Universidad Politécnica de Cataluña, Grado en ingeniería de la Construcción. Recuperado el 20 de marzo de 2018.

Informe de la Dirección de Normalización

El siguiente reporte es parte del periodo comprendido del 1 de abril al 31 de mayo de 2023

Normas en revisión:

APROY-NMX-C-468-ONNCCE, Industria de la Construcción – Geotecnia – Materiales Térricos – Método de Preparación de Muestras

APROY-NMX-C-493-ONNCCE, Industria de la Construcción – Geotecnia – Límites de Consistencia de Suelos

Método de Ensayo

APROY-NMX-C-000-ONNCCE, Industria de la Construcción – Geotecnia – Materiales Térricos – Valor Soporte de California (CBR) en el Lugar – Método de Ensayo

APROY-NMX-C-555-ONNCCE, Industria de la Construcción – Materiales Asfálticos – Módulo Reológico de Corte Dinámico – Método de Ensayo

APROY-NMX-C-072-ONNCCE, Industria de la Construcción – Agregados – Determinación de Partículas Ligeras

APROY-NMX-C-000-ONNCCE, Industria de la Construcción – Concreto Premezclado – Método de Ensayo Estándar para Determinar la Capacidad de Auto-Reparación de Grietas en el Concreto

APROY-NMX-C-495-ONNCCE-2023, Industria de la Construcción – Durabilidad de Estructuras de Concreto Reforzado – Medición de Potenciales de Corrosión del Acero de Refuerzo sin Revestir, Embebido en Concreto

Especificaciones y Método de Ensayo

APROY-NMX-C-000-ONNCCE, Industria de la Construcción – Mezclas Asfálticas – Envejecimiento Acelerado del Cemento Asfáltico en Vasija de Envejecimiento a Presión (PAV) – Método de Ensayo

APROY-NMX-C-000-ONNCCE, Industria de la Construcción – Determinación del Envejecimiento del Cemento Asfáltico en Horno Rotatorio de Película Delgada – Método de Ensayo

Normas en consulta pública:

Ninguna.

Normas en consulta pública desde 2021

PROY-NMX-C-155-ONNCCE-2021-Industria de la Construcción – Concreto Hidráulico – Dosificado en Masa – Especificaciones

PROY-NMX-C-196-ONNCCE-202-Industria de la Construcción – Agregados – Determinación de la Resistencia a la Degradación por Abrasión e Impacto de Agregados Gruesos Usando la Máquina Los Ángeles

PROY-NMX-C-585-ONNCCE-2021-Industria de la Construcción – Determinación del Valor de Azul de Metileno para Material que Pasa la Malla de 0,075 mm (No. 200) – Método de Ensayo

PROY-NMX-C-586-ONNCCE-2021-Industria de la Construcción – Materiales Pétreos – Partículas Alargadas y Lajeadas de Materiales-Pétreos para Mezclas Asfálticas – Método de ensayo

PROY-NMX-C-587-ONNCCE-2021-Industria de la Construcción – Materiales Pétreos – Desprendimien

to por Fricción en Materiales Pétreos para Mezclas Asfálticas – Método de Ensayo
PROY-NMX-C-588-ONNCCE-2021-Industria de la Construcción – Materiales Pétreos –Partículas Trituradas de Materiales Pétreos para Mezclas Asfálticas – Método de ensayo
PROY-NMX-C-432-ONNCCE-2021-Industria de la Construcción – Geotecnia –Compresión Triaxial no Consolidada no Drenada (TXUU) – Método de Ensayo
PROY-NMX-C-476-ONNCCE-2021-Industria de la Construcción – Geotecnia – Materiales Térreos – Compactación Dinámica Estándar y Modificada – Métodos de Ensayo

Normas en consulta pública desde 2022

PROY-NMX-C-203-ONNCCE2022-Industria de la Construcción – Materiales Asfálticos – Métodos de Muestreo (Cancelará a la NMX-C203- ONNCCE-2012)
PROY-NMX-C-159-ONNCCE-2022-Industria de la Construcción – Concreto – Elaboración y Curado de Especímenes de Ensayo (Cancelará a la NMX-C-159-ONNCCE-2016)
PROY-NMX-C-052-ONNCCE2022-Industria de la Construcción – Materiales Asfálticos – Penetración en Cementos y Residuos Asfálticos –Método de Ensayo (Cancelará a la NMX-C-052-ONNCCE-2012).
PROY-NMX-C-183-ONNCCE-2022-Industria de la Construcción – Materiales Asfálticos – Punto de Reblandecimiento en Cementos Asfálticos (Anillo y Esfera) – Método de Ensayo (Cancelará a la NMX-C-183-ONNCCE-2012).
PROY-NMX-C-496-ONNCCE-2022-Industria de la Construcción – Geotecnia –Materiales para Terracerías – Determinación de la Composición Granular – Método de Ensayo (Cancelará a la NMX-C-496-ONNCCE-2014)
PROY-NMX-C-522-ONNCCE-2022-Industria de la Construcción – Geotecnia –Materiales Térreos – Determinación del Valor Soporte de California de Suelos y Expansión en Laboratorio – Método de Ensayo (Cancelará a la NMX-C-522-ONNCCE-2016)
PROY-NMX-C-509-ONNCCE-2022-Industria de la Construcción – Materiales Asfálticos – Recuperación Elástica en Ductilómetro – Método de Ensayo (Cancelará a la NMX-C-509-ONNCCE2017).
PROY-NMX-C-430-ONNCCE-2022-Industria de la Construcción – Geotecnia –Cimentaciones – Sondeos de Pozo a Cielo Abierto y Posteadora (Cancelará a la NMX-C-430-ONNCCE-2002).
PROY-NMX-C-507-ONNCCE-2022-Industria de la Construcción – Geotecnia –Determinación de la Masa Volumétrica Seca del Lugar y Grado de Compactación de Materiales Térreos – Método de Ensayo de Trompa y Arena (Cancelará a la NMX-C-507-ONNCCE-2019).

Normas en espera de la publicación de la declaratoria de vigencia 2022

NMX-C-105-ONNCCE-2022-Industria de la Construcción – Concreto Hidráulico Ligero para Uso Estructural – Determinación de la Masa Volumétrica en Concreto Seco a Temperatura Ambiente y al Horno – Método de Ensayo (Cancela a la NMX-C-105-ONNCCE-2010)
NMX-C-083-ONNCCE-2022-Industria de la Construcción – Concreto –Determinación de la Resistencia a la Compresión de Especímenes – Método de Ensayo (Cancela a la NMX-C-083-ONNCCE-2014)
NMX-C-154-ONNCCE-2022-Industria de la Construcción – Concreto Hidráulico –Determinación del Contenido de Cemento en Concreto Endurecido – Método de Ensayo (Cancela a la NMX-C-154-ON

NCCE-2010)

NMX-C-164-ONNCCE-2022-Industria de la Construcción – Agregados –Determinación de la Densidad Relativa y Absorción de Agua del Agregado Grueso – Método de Ensayo (Cancela a la NMX-C-164-ONNCCE-2014)

NMX-C-173-ONNCCE-2022-Industria de la Construcción – Concreto Hidráulico –Determinación de la Variación en Longitud de Especímenes de Mortero de Cemento y Concreto Endurecido – Método de Ensayo (Cancela a la NMX-C-173-ONNCCE-2010)

NMX-C-156-ONNCCE-2022-Industria de la Construcción – Concreto Hidráulico –Determinación del Revenimiento en el Concreto Fresco – Método de Ensayo (Cancela a la NMX-C-156-ONNCCE-2010)

NMX-C-576-ONNCCE-2022-Industria de la Construcción – Concreto Compactado con Rodillos Para Pavimentos – Especificaciones y Métodos de Ensayo

NMX-C-579-ONNCCE-2022-Industria de la Construcción – Procedimiento para Estimación de la Resistencia del Concreto – Método de Madurez

NMX-C-582-ONNCCE-2022-Industria de la Construcción – Agregados Reciclados para Concreto Hidráulico – Especificaciones y Métodos de Ensayo

NMX-C-512-ONNCCE-2022-Industria de la Construcción – Industria de la Construcción – Asfaltos – Determinación del Residuo de la Película Delgada de Cementos Asfálticos – Método de Ensayo (Cancela a la NMX-C-512-ONNCCE-2015)

NMX-C-521-ONNCCE-2022-Industria de la Construcción – Materiales Asfálticos –Recuperación Elástica por Torsión – Método de Ensayo (Cancela a la NMX-C-521-ONNCCE-2017)

NMX-C-574-ONNCCE-2022-Industria de la Construcción – Mezclas Asfálticas –Determinación de la Densidad Relativa y Densidad de Mezclas Asfálticas Compactadas Absorbentes –Método de Ensayo

NMX-C-581-ONNCCE-2022-Industria de la Construcción – Materiales Pétreos –Densidad Relativa Aparente por Inmersión en Cemento Asfáltico de Materiales Pétreos para Mezclas Asfálticas – Método de ensayo

NMX-C-431-ONNCCE-2022-Industria de la Construcción – Geotecnia – Toma de Muestra Alterada e Inalterada – Métodos de Muestreo (Cancela a la NMX-C-431-ONNCCE-2002)

NMX-C-575-ONNCCE-2022-Industria de la Construcción – Geotecnia –Compresión Triaxial Consolidada no Drenada para Suelos Cohesivos (TX CU) – Método de Ensayo.

Normas publicadas recientemente:

Ninguna

¿QUÉ PASÓ EN EL MUNDO?

Se pierde submarino dónde se hundió el Titanic en 1912

Cinco personas desaparecieron a bordo de un submarino que se había sumergido para ver los restos del Titanic. Se perdió el rastro del sumergible a unos 700 kilómetros de la costa de Newfoundland (Canadá).

El pasado 22 de junio John Mauger, Contralmirante de la guardia costera de los Estados Unidos confirmó el fallecimiento de los cinco tripulantes que iban a bordo del submarino.

A bordo del Titan viajan el fundador de la compañía que organiza estas expediciones, Stockton Rush, el empresario y aventurero británico Hamish Harding, el explorador francés Paul Henry Nargeolet, el empresario paquistaní Shahzada Dawood y su hijo Suleman. Se pagaron, por persona, 250 mil dólares.

La Guardia Costera explicó en la misma rueda de prensa que los expertos en el rescate han asegurado que es

muy probable que la muerte de los tripulantes fue súbita y que ellos no fueron capaces de saber qué ocurría y que murieron inmediatamente.

En conferencia de prensa el contraalmirante John Mouger, dijo que los restos son consistentes con una implosión catastrófica e indicó que recuperar los cuerpos es muy complicado. Los restos se encontraron a unos 600 metros del Titanic.

Para poder vivir la experiencia, los cinco tripulantes del Titán deben estar descalzos y sentados con las piernas cruzadas en el suelo, puesto que no hay asientos. Dentro de la nave, existe una sola ventanilla, por lo que los pasajeros deben turnarse para poder mirar hacia afuera (aunque también pueden ver todos por las pantallas que están conectadas a las cámaras exteriores).

Esto es parte de lo que anteriores pasajeros del Titán aseguraron a la prensa.



Estalla Francia por la muerte de un menor

La muerte de Nahel M por un disparo de la policía el pasado 27 de junio provocó disturbios en ciudades de toda Francia, así como en Nanterre, la localidad al oeste de París donde falleció.

Según las autoridades, 667 personas fueron arrestadas en las protestas por todo el país, en las que los manifestantes lanzaron objetos y pirotecnia contra la policía, incendiando automóviles y mobiliario urbano.

Nahel M, de 17 años, era hijo único criado por su madre, trabajaba como repartidor de comida y jugaba al rugby.

Poco después de las 9 de la mañana del 27 de junio, el joven recibió un disparo mortal en el tórax, a quemarropa, al volante de un automóvil Mercedes por darse a la fuga durante un control policial de tránsito.

El policía que lo mató fue acusado este jueves de homicidio y, a través de su abogado, pidió perdón a la familia del joven, asegurando

que estaba “devastado”.

“Negarse a parar no te da licencia para matar”, dijo el líder del Partido Socialista, Olivier Faure. “Todos los niños de la República tienen derecho a la justicia”.

Cerca de 300 policías y gendarmes han resultado heridos en las protestas. También fueron atacados 492 edificios públicos y 2000 vehículos han resultado incendiados.

Los disturbios provocados por su muerte son un recordatorio para muchos en Francia de las protestas de 2005, cuando dos adolescentes, Zyed Benna y Bouna Traoré, murieron electrocutados cuando huían de la policía después de un partido de fútbol, al chocar contra una subestación eléctrica en Clichy-sous-Bois, un suburbio de París.

“Podría haber sido yo, podría haber sido mi hermano pequeño”, dijo un adolescente de Clichy llamado Mohammed al sitio web francés Mediapart sobre la muerte de Nahel M.



SE PARTE
DE
NUESTROS
SOCIOS
ANALISEC



SERVICIOS QUE OFRECEMOS:

- Capacitación a personal de laboratorios
- Certificación de competencia técnica y certificación de confiabilidad de ensayos
- Uso de celda de carga para verificaciones intermedias
- Ensayos de aptitud avalados por la Entidad Mexicana de Acreditación, a.c.

 @Analisec_2019
 @Analisec
 @Analisecmx



Contáctanos

(55) 5611-8663/7578
contacto@analisec.com.mx



Holbein No. 217 Despacho 904. Col. Noche Buena, C.P. 03720, CDMX, México.
www.analisec.com.mx

Delegaciones de Analisec



*Delegación del Centro

- Tlaxcala
- Guerrero
- Ciudad de México
- Estado de México
- Hidalgo

*Delegación Guanajuato

*Delegación Golfo

- Tamaulipas
- Veracruz

*Delegación Norte

- Coahuila
- Durango
- Nuevo León

*Delegación Sonora

*Delegación Noreste

*Delegación Querétaro

*Delegación Pacífico

- Sinaloa
- Nayarit
- Jalisco
- Michoacán

*Delegación Tabasco

*Delegación Sureste

- Campeche
- Yucatán
- Quintana Roo

*Delegación Aguascalientes

- Aguascalientes
- Zacatecas
- San Luis Potosí

*Delegación Baja California

*Delegación Oaxaca

*Delegación Puebla

*Delegación Chiapas



Si su laboratorio aún no es parte de Analisec,
afiliarse en contacto@analisec.com.mx